

Approximation de Surface C^k -régulière à partir de Patches de Surface

Christian Gout, Alexandre Vieira & Conrad Hillairet

INSA de Rouen - Université de Rouen

Objectifs

A partir d'un ensemble fini de patches de surface donnés, il s'agit :

- De construire une approximation régulière approchant la surface sur ces patches
- Cet approximant sera une spline polynomiale par morceaux
- De tenir compte de l'aspect continu des données
- D'estimer les erreurs et d'implémenter numériquement l'approximant

Introduction

Les méthodes usuelles se contentent de prendre des points sur les patches : on a alors des données de Lagrange. A l'inverse de ces méthodes, on veut ici tenir compte de l'aspect continu des données, prendre en compte leur aspect originel, en particulier leur régularité.

A ces fins, on introduit **un critère de fidélité aux données** sous la forme d'une norme $L^2(\Omega)$.

On considère que l'on connaît initialement :

- Ω : un ouvert connexe borné non vide de \mathbb{R}^n à frontière lipschitzienne (en pratique $n=2$)
- une famille finie d'ouverts de Ω : $(\omega_j)_{j=1}^N \subset \mathcal{P}(\Omega)$
- une fonction f définie sur Ω , donnée sur $\omega = \cup_{j=1}^N \omega_j$ et inconnue sur $\Omega \setminus \omega$.

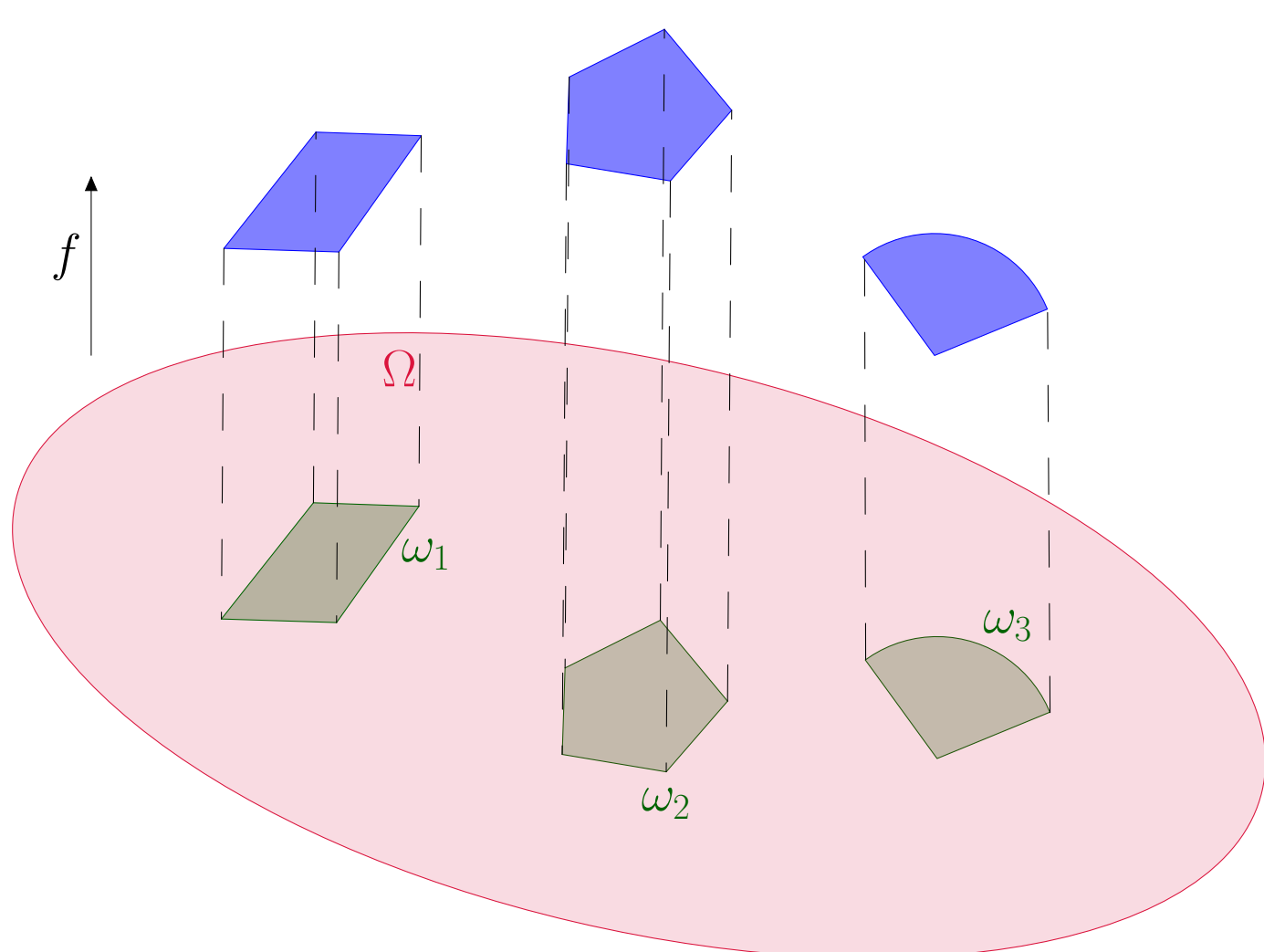


FIGURE 1: Exemple de trois patches à partir desquels on veut reconstruire f sur Ω

But : Construire une fonction régulière ϕ sur Ω approximant f sur ω .

On émet les hypothèses suivantes :

- $f \in \mathcal{H}^m(\Omega)$
- $\phi \in \mathcal{H}^m(\Omega) \cap C^k(\bar{\Omega})$, $k \in \mathbb{N}$, $m > \frac{n}{2}$

Si $m > k + \frac{n}{2}$, le problème d'interpolation $\phi|_{\omega} = f|_{\omega}$ admet une infinité de solution. La théorie de Duchon [1] nous permet d'en obtenir une. Mais la taille considérable des systèmes à résoudre nous pousse vers une autre solution.

Nous considérons $\mathcal{K} = \{v \in \mathcal{H}^m(\Omega), v|_{\omega} = f|_{\omega}\}$ convexe. Le problème d'interpolation devient :

Trouver $\sigma \in \mathcal{K}$:

$$\forall v \in \mathcal{K}, |\sigma|_{m,\Omega} \leq |v|_{m,\Omega} \quad (1)$$

$$\text{où } |\sigma|_{m,\Omega} = \sqrt{\sum_{|\alpha|=m} \int_{\Omega} (\partial^{\alpha} v(x))^2}$$

L'existence et l'unicité de (1) ont été montrées dans [2]. On a l'équivalence des normes dans $\mathcal{H}^m(\Omega)$:

$$\textcircled{1} \|u\|_{m,\Omega} = \sqrt{\sum_{|\alpha| \leq m} \int_{\Omega} (\partial^{\alpha} v(x))^2}$$

$$\textcircled{2} \|u\| = \sqrt{\|u\|_{0,\omega}^2 + |u|_{m,\Omega}^2}, \text{ où }$$

$$\|u\|_{0,\omega}^2 = \sum_{j=1}^N \int_{\omega_j} v^2(x) dx$$

σ solution de (1), est l'unique élément de norme $\| \cdot \|$ minimale. Mais il est impossible de vérifier en dimension finie un nombre infini de conditions d'interpolation, on ne peut donc pas construire σ par discrétisation de (1). Pour prendre en compte cet aspect continu des données $f|_{\omega}$ on choisit ϕ non plus comme une surface d'interpolation, mais d'ajustement.

On va donc construire une D^m -spline régulière [3] qui sera discrétisée dans un espace polynomial par morceaux. On introduit pour cela la fonctionnelle : $\mathcal{J}_{\varepsilon}$ sur $\mathcal{H}^m(\Omega)$:

$$\mathcal{J}_{\varepsilon}(v) = \|v - f\|_{0,\omega}^2 + \varepsilon |v|_{m,\Omega}^2$$

$\|v - f\|_{0,\omega}^2$ est le critère de fidélité aux données et honore l'aspect continu de celles-ci ; $\varepsilon > 0$ est un paramètre de régularité.

Approximation de $\| \cdot \|_{0,\omega}$

On veut donner une formule de quadrature pour approximer $\| \cdot \|_{0,\omega}$ à un certain ordre. On introduit pour cela :

- Des noeuds d'intégration :
- $\forall \eta \in E \subset \mathbb{R}_*^+, \forall 1 \leq j \leq N, (\xi_i)_{i=1}^{L(\eta,j)}$ points distincts de $\bar{\omega}_j$
- Des coefficients d'intégration : $(\lambda_i)_{i=1}^{L(\eta,j)} \subset \mathbb{R}_*^+$
- $\forall \eta \in E, \forall 1 \leq j \leq N, \forall v \in C^0(\bar{\omega}_j), \ell_j^{\eta}(v) = \sum_{i=1}^{L(\eta,j)} \lambda_i v(\xi_i)$
- $\forall \eta \in E, \forall v \in C^0(\bar{\omega}_j), \ell^{\eta}(v) = \sum_{j=1}^N \ell_j^{\eta}(v)$

Si $\exists c, t > 0, \forall \eta \in E, \forall v \in \mathcal{H}^m(\Omega), \forall 1 \leq j \leq N, |\ell_j^{\eta}(v^2) - \int_{\omega_j} v^2 dx| \leq c \eta^t \|v\|_{m,\Omega}^2$, Alors on a la formule d'intégration numérique abstraite pour $\| \cdot \|_{0,\omega}^2 \approx \ell^{\eta}(v^2)$. Pour avoir la convergence quand $\eta \rightarrow 0$, les noeuds doivent vérifier : $\max_{1 \leq i \leq L} \min_{1 \leq k \leq L, k \neq i} \delta(\xi_i, \xi_k) \leq \eta$ (répartition uniforme des noeuds).

Méthodes

① Le critère de fidélité aux données aurait pu être sous la forme d'une norme de $L^1(\Omega)$; en minimisant alors le volume entre l'approximante : ϕ et f sur ω . Sa non-hilbertianité, fait donc pencher le choix de la norme du critère vers celle de $L^2(\Omega)$.

② En pratique, si on a une triangulation τ_n de ω , de n -simplexes τ de diamètre inférieur ou égal à η , et que $(a_i)_{i=1}^3, (b_i)_{i=1}^3$ et c sont respectivement les sommets, milieux et barycentre de chaque τ , alors on utilise la formule $\mathcal{P}_3 : \ell^{\eta}(v) = \sum_{\tau \in \tau_n} \text{meas}(\tau) [\frac{1}{20} \sum_{i=1}^3 v(a_i) + \frac{2}{15} \sum_{i=1}^3 v(b_i) + \frac{9}{20} v(c)]$

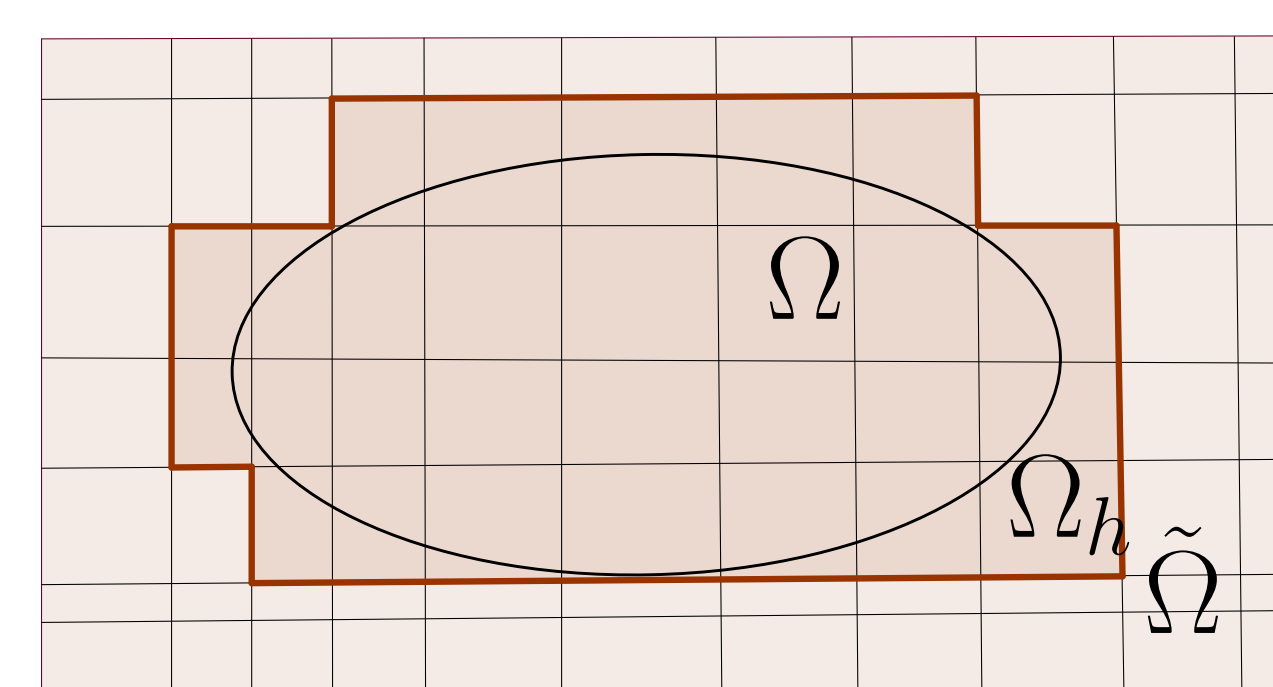


FIGURE 2: Définition des ensembles Ω , $\tilde{\Omega}$ et Ω_h

Approximation par D^m -spline

Soient H un sous-espace borné de $\mathbb{R}^+ \setminus \{0\}$ pour lequel 0 est un point d'accumulation, $\tilde{\Omega}$ un polygone ouvert de \mathbb{R}^n tel que $\Omega \subset \tilde{\Omega}$ et, pour tout $h \in H$, on note $\tilde{\mathcal{T}}_h$ une triangulation sur $\tilde{\Omega}$ au moyen d'éléments K dont le diamètre h_K sont inférieurs ou égal à h et soit \tilde{V}_h un espace d'éléments finis construit sur $\tilde{\mathcal{T}}_h$ tel que : \tilde{V}_h est un sous-espace de dimension fini de $H^m(\tilde{\Omega}) \cap C^k(\bar{\tilde{\Omega}})$ (voir fig. 2)

De plus, pour étudier la convergence de l'approximation, on suppose qu'il existe une famille d'opérateurs linéaires continus $(\tilde{\Pi}_h)_{h \in H}$ de $H^m(\Omega)$ dans \tilde{V}_h satisfaisant :

$$\exists C > 0; \forall h \in H, \forall l = 0, \dots, m-1, \forall v \in H^m(\tilde{\Omega})$$

$$|v - \tilde{\Pi}_h v|_{l,\tilde{\Omega}} \leq C h^{m-1} |v|_{m,\tilde{\Omega}} \quad (2)$$

$$\forall v \in H^m(\tilde{\Omega}), \lim_{h \rightarrow 0} |v - \tilde{\Pi}_h v|_{m,\tilde{\Omega}} = 0 \quad (3)$$

On admet une certaine régularité sur $\tilde{\mathcal{T}}_h$ (voir famille régulière dans [4]). On construit Ω_h comme l'union des rectangles K dont l'intersection avec Ω est non vide (voir fig. 2) qui vérifie :

$$\forall h \in H, \Omega \subset \Omega_h \subset \tilde{\Omega} \quad (4)$$

$$\lim_{h \rightarrow 0} \mu(\Omega_h \setminus \tilde{\Omega}) = 0 \quad (5)$$

Ainsi, on définit :

$$V_h = \{\phi|_{\Omega_h} | \phi \in \tilde{V}_h\} \quad (6)$$

Pour tout $\varepsilon > 0$, on considère le problème de minimisation suivant : trouver $\sigma_{\varepsilon,h}^{\eta} \in V_h$ satisfaisant :

$$\forall v_h \in V_h, J_{\varepsilon,h}^{\eta}(\sigma_{\varepsilon,h}^{\eta}) \leq J_{\varepsilon,h}^{\eta}(v_h) \quad (7)$$

où $J_{\varepsilon,h}^{\eta}$ est la fonctionnelle définie par :

$$J_{\varepsilon,h}^{\eta} = \ell^{\eta}[(v_h - f)^2] + \varepsilon |v_h|_{m,\Omega_h}^2$$

On considère ensuite le problème variationnel suivant : trouver $\sigma_{\varepsilon,h}^{\eta} \in V_h$ satisfaisant :

$$\forall v_h \in V_h, \ell^{\eta}(\sigma_{\varepsilon,h}^{\eta} v_h) + \varepsilon (\sigma_{\varepsilon,h}^{\eta}, v_h) = \ell^{\eta}(f v_h) \quad (8)$$

où $(u, v)_{m,\Omega_h} = \sum_{|\alpha|=m} \int_{\Omega_h} \partial^{\alpha} u(x) \partial^{\alpha} v(x) dx$.

Approximation de Surface C^k -régulière à partir de Patches de Surface

Christian Gout, Alexandre Vieira & Conrad Hillairet
INSA de Rouen - Université de Rouen

Théorème : Sous les hypothèses précédentes, pour tout $\varepsilon > 0$, tout $h \in H$, il existe $\eta_0 > 0$ tel que pour tout $\eta \in E$, $\eta \leq \eta_0$, les problèmes (7) et (8) admettent une même unique solution.

Idée de démonstration : On montre que sous la relation (voir [5])

$$\forall p \in P_{m-1}(\tilde{\Omega}_h), p|_{\omega} = 0 \Rightarrow p \equiv 0$$

On a équivalence des normes :

$$[|v|]_h = (\|v\|_{0,\omega}^2 + |v|_{m,\Omega_h}^2)^{\frac{1}{2}}$$

et :

$$\|v\|_{m,\Omega_h} = \left(\sum_{|\alpha| \leq m} \int_{\Omega_h} (\partial^\alpha v)^2 \right)^{\frac{1}{2}}$$

Utilisant cela, on montre que la forme bilinéaire symétrique

$$(u_h, v_h) \mapsto \ell^\eta(u_h v_h) + \varepsilon(u_h, v_h)_{m,\Omega_h}$$

est continue V_h -elliptique, et en appliquant le théorème de Lax-Milgram, on a le résultat.

Théorème : Sous les mêmes hypothèses, si on suppose de plus que (2)-(3) est vérifié, alors la solution $\sigma_{\varepsilon,h}^\eta$ de (7) et (8) satisfont :

$$\lim_{\substack{\varepsilon \rightarrow 0 \\ h^{2m} \rightarrow 0 \\ \frac{\eta^t}{\varepsilon} < \beta}} \|\sigma_{\varepsilon,h}^\eta - \sigma\|_{m,\Omega} = 0$$

où σ est la solution de (1) et où β a été introduit dans le théorème précédent

② Il existe une constante positive C telle que :

$$\|\sigma_{\varepsilon,h}^\eta - f\|_{0,\omega}^2 \leq C(h^{2m} + \eta^t o(1) + \varepsilon)$$

où

$$\varepsilon \rightarrow 0, \frac{h^{2m}}{\varepsilon} \rightarrow 0, \frac{\eta^t}{\varepsilon} < \beta$$

Idée de démonstration : 4 étapes :

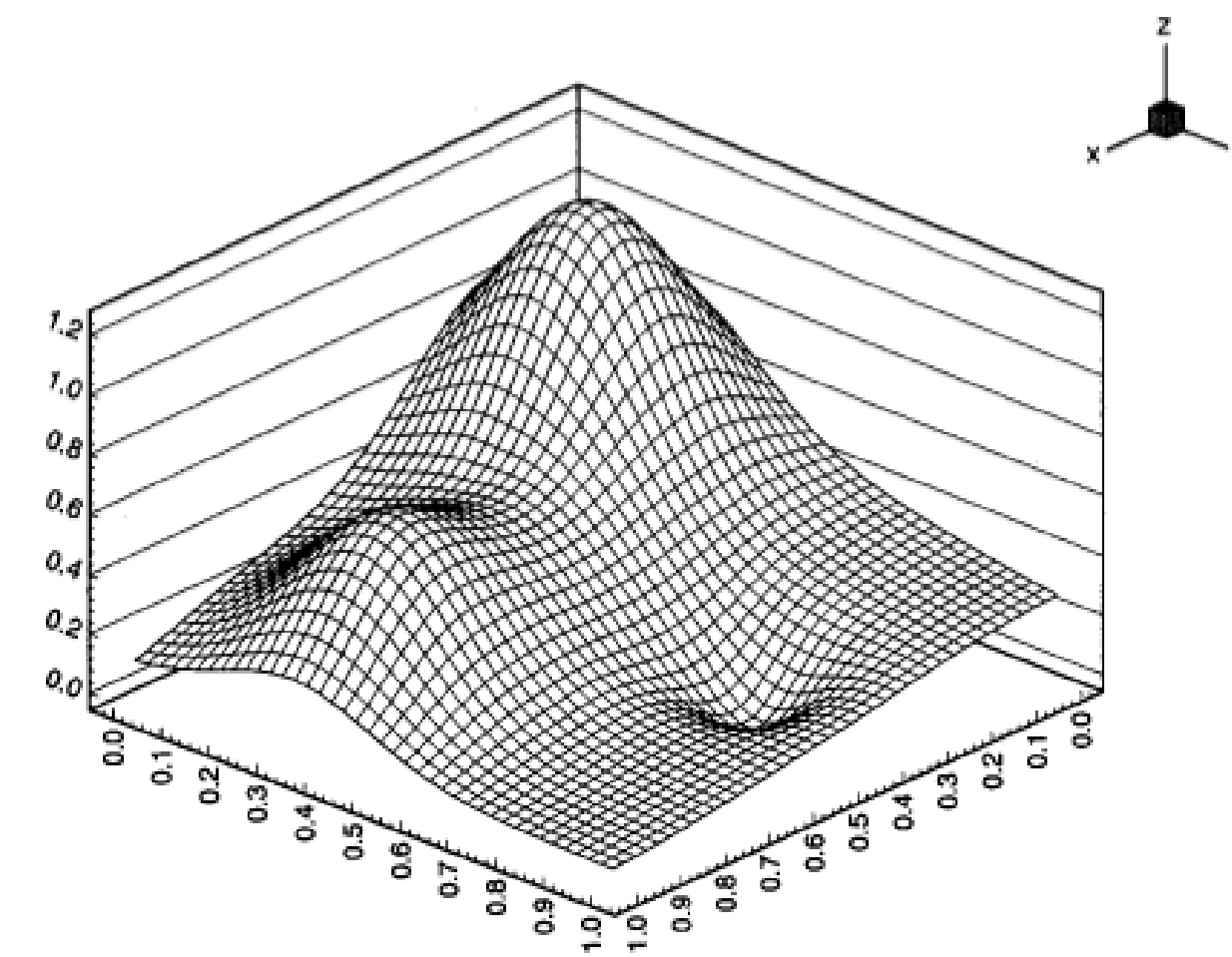
- On montre par diverses inégalités que la famille $(\sigma_{\varepsilon,h}^\eta)_{\eta,\varepsilon,h}$ est bornée dans $H^m(\Omega)$ sous les conditions apparaissant dans la limite, et donc qu'il existe une suite $(\sigma_{\varepsilon,h}^\eta)_{\eta,\varepsilon,h}$ et une fonction $\sigma^* \in H^m(\Omega)$ telles que : $\sigma_{\varepsilon,h_n}^\eta \rightharpoonup \sigma^*$ dans $H^m(\Omega)$
- On montre ensuite que $\sigma^* = \sigma$

- On en déduit que la limite faible est aussi limite forte
- On finit la démonstration en repassant à la famille de fonctions $(\sigma_{\varepsilon,h}^\eta)_{\eta,\varepsilon,h}$

Approximation numérique

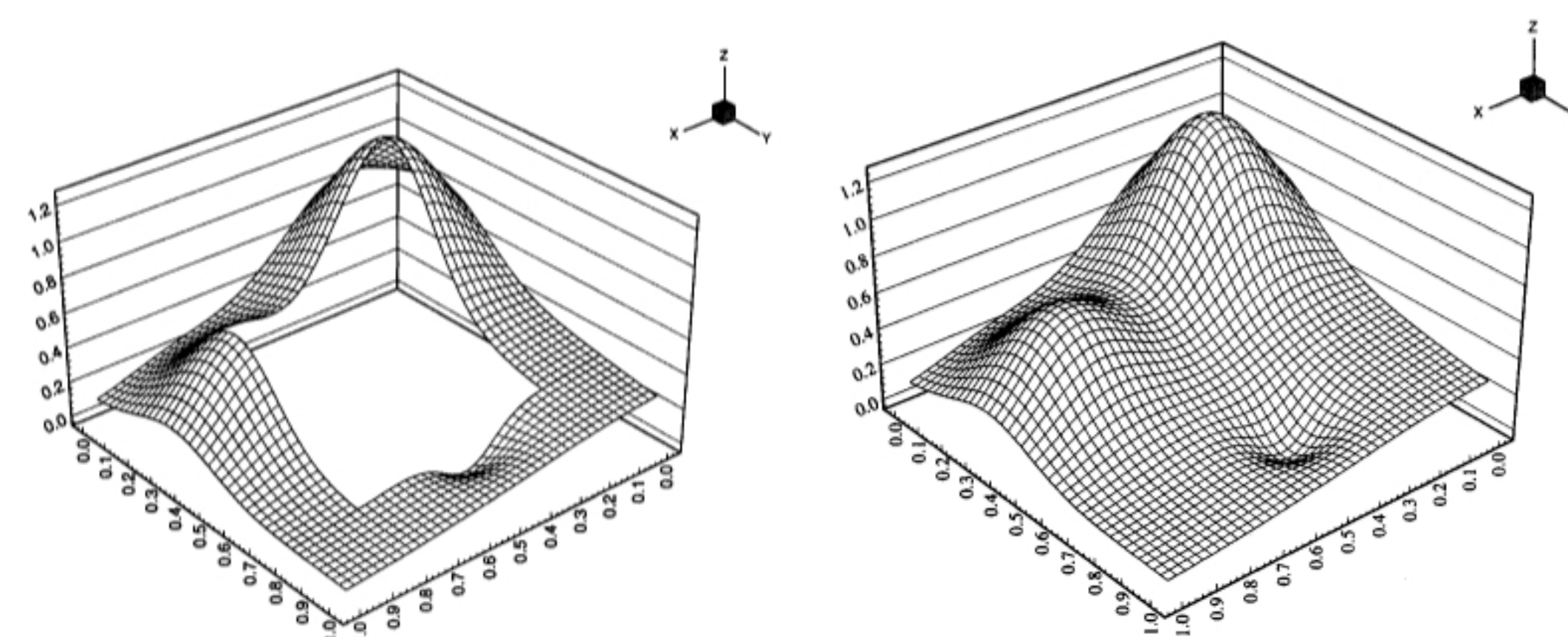
On a considéré deux fonctions sur $\Omega =]0; 1[\times]0; 1[$ pour tester numériquement la méthode :

- $f(x, y) = e^{-(3x-1)^2 - (3y-1)^2}$
- $g(x, y) = \frac{3}{4}e^{-\frac{1}{4}(9x-2)^2 - \frac{1}{4}(9y-2)^2} + \frac{3}{4}e^{-\frac{1}{49}(9x+1)^2 - \frac{1}{10}(9y+1)^2} + \frac{1}{2}e^{-\frac{1}{4}(9x-7)^2 - \frac{1}{4}(9y-3)^2} - \frac{1}{5}e^{-(9x-4)^2 - (9y+7)^2}$



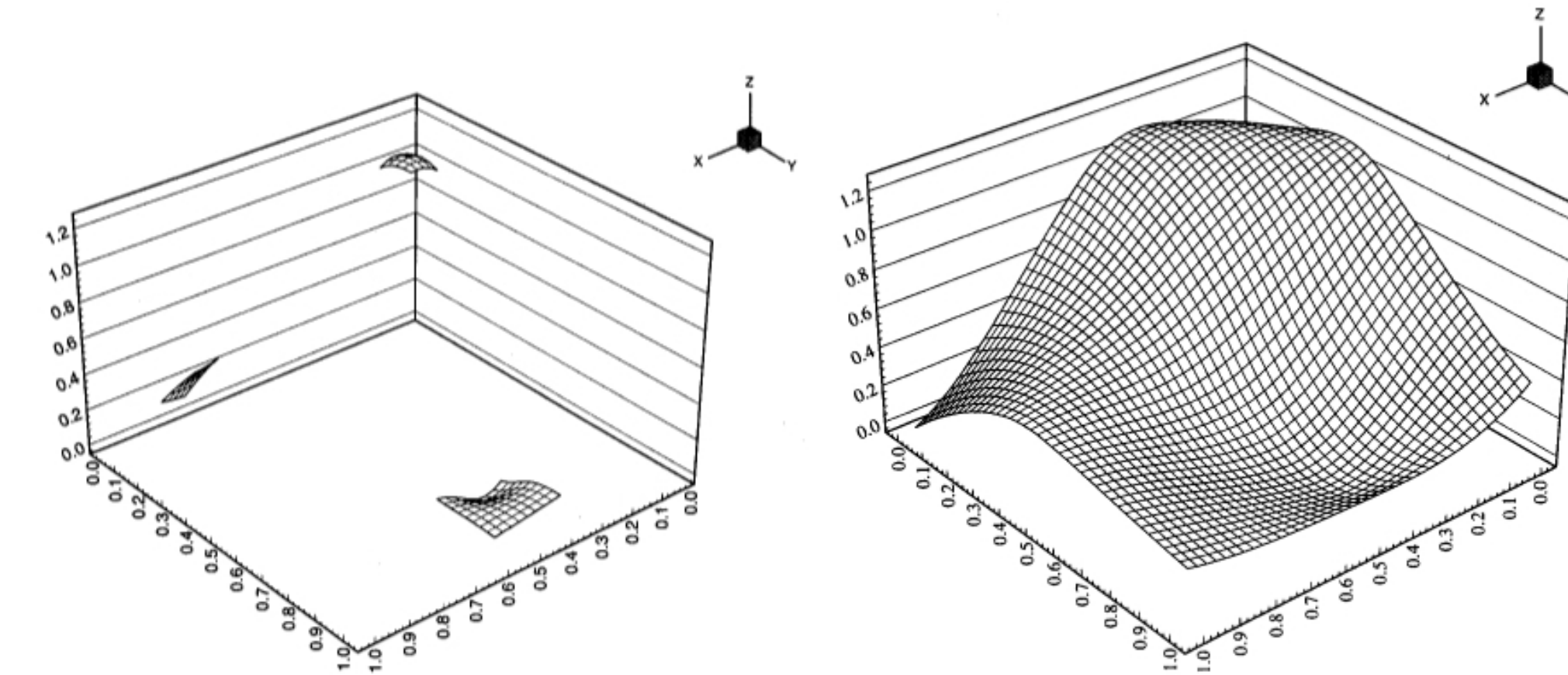
On a considéré des éléments finis rectangles C^1 de Bogner-Fox-Schmidt, et la formule de quadrature sur les patches est P_3 sur des triangles, et on prend $\varepsilon = 10^{-6}$.

Il n'y a pas de méthode mathématique pour optimiser le choix de ce paramètre : on utilise une validation croisée.



Comparaison des résultats avec une D^m -spline sur des données de Lagrange.

Approximation numérique (2)



Calcul de l'erreur quadratique :

$$Q_{error}(\cup_i(x_i, y_i, z_i)) = \frac{\sum_{i=1}^{1600} (\tilde{z}_i - z_i)^2}{\sum_{i=1}^{1600} z_i^2}$$

Fonction g	Q_{error}	Data
Spline d'ajustement	1.34×10^{-3}	1152 points
Spline d'ajustement	0.18	33 points

Exemple d'application réelle : Big Island à Hawaï. Plus de 7 000 points de données pour un relief allant de -4 à +4km. Les résultats sont affichés fig 3

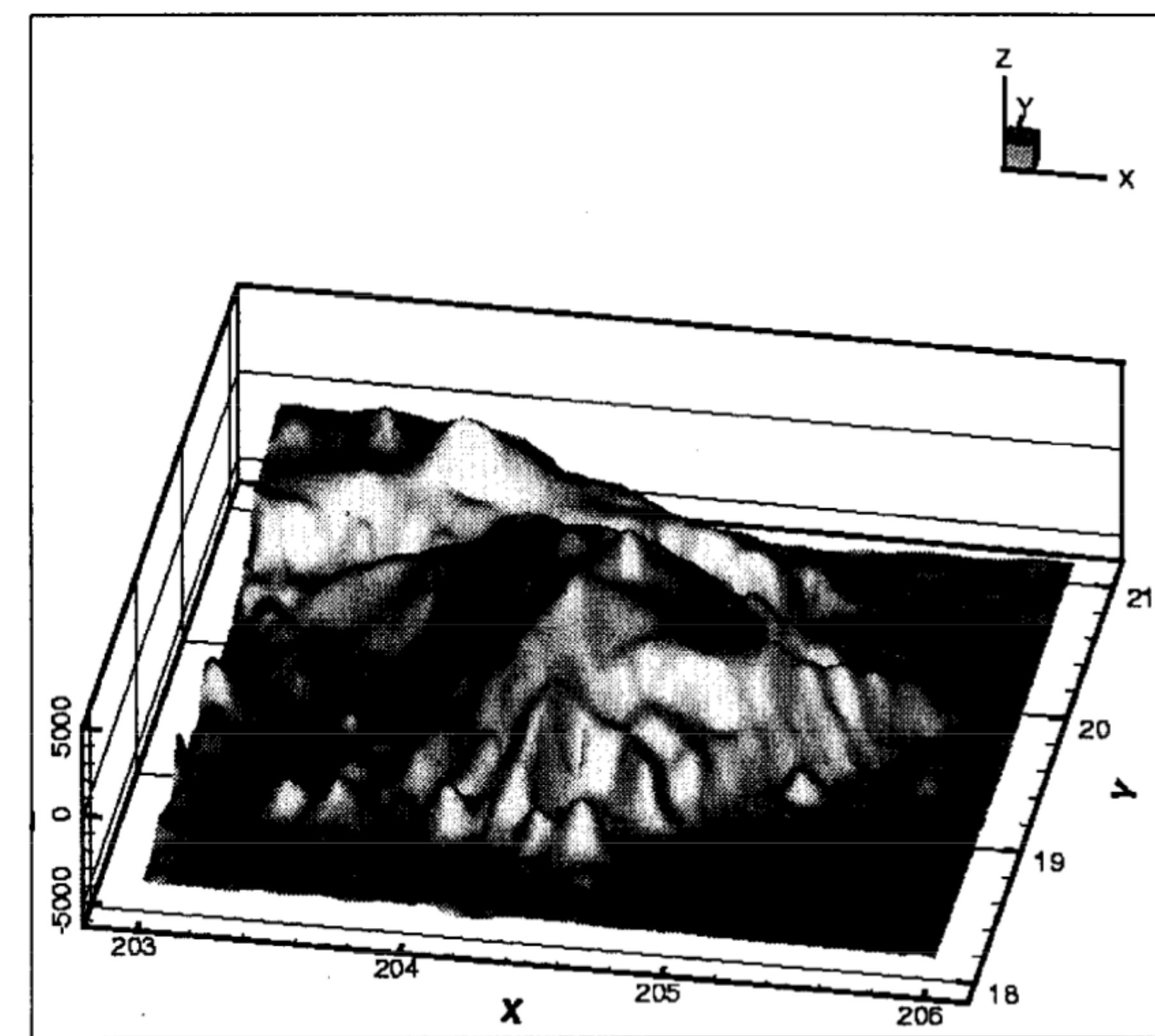


FIGURE 3: Approximation C^1 , grille de 250×250 points

Références

- Jean Duchon. Interpolation des fonctions de deux variables suivant le principe de la flexion des plaques minces. *ESAIM : Mathematical Modelling and Numerical Analysis - Modélisation Mathématique et Analyse Numérique*, 10(R3) :5-12, 1976.
- C. Gout. *Etude de changements d'échelle en approximation : Ajustement spline sur des surfaces*. 1997.
- R. Arcangéli. *Some applications of discrete D^m -Splines dans Mathematical Methods in Computer Aided Geometric Design*. Elsevier Science, 2014.
- Philippe G Ciarlet and PA Raviart. General lagrange and hermite interpolation in r_n with applications to finite element methods. *Archive for Rational Mechanics and Analysis*, 46(3) :177-199, 1972.
- J. Nečas. *Les méthodes directes en théorie des équations elliptiques*. Academia, 1967.
- R. Arcangéli, M.C.L. de Silanes, and J.J. Torrens. *Multidimensional Minimizing Splines : Theory and Applications*. Grenoble Sciences. Springer, 2004.

Contact Information

- Web : <http://lmi.insa-rouen.fr/>
- Email : christian.gout@insa-rouen.fr
conrad.hillairet@insa-rouen.fr
alexandre.vieira@insa-rouen.fr